

МОДЕЛИРОВАНИЕ ДВУХФАЗНОГО ЗАКРУЧЕННОГО ПОТОКА

Чальцев М.Н., канд. техн. наук, проф., Войцеховский С.В.,
автомобильно-дорожный институт

Разработана математическая модель течения закрученного двухфазного потока газ - твердые частицы в круглой трубе. Модель может быть использована для расчета параметров пневматического транспортирования сыпучих материалов.

Analytic – experimental model of tow phase circulation gas – solids flow in circular pipe is derived. The model can be used for calculation of parameters of solids pneumatic conveying.

В последнее время у исследователей в области пневмотранспорта особый интерес вызывает применение закрутки при транспортировке потока. Из-за вращения здесь возникает аэродинамический эффект, который создает повышенное давление воздуха у стенок трубопровода. Применительно к пневмотранспорту мелкодисперсных сыпучих материалов благодаря этому снижается износ транспортного трубопровода. В данной работе ставилась задача теоретически определить количественные и качественные показатели вышеуказанного аэродинамического эффекта, а так же установить каким образом закрутка влияет на параметры транспортирования. Для этого была разработана математическая модель движения закрученного двухфазного потока на выходе из питателя в транспортный трубопровод. В качестве питателя, который бы обеспечивал вращательно-поступательное движение транспортируемой аэросмеси, можно использовать различные закручивающие устройства. Наиболее простым и надежным является вихревой эжектор, изображенный на рисунке 1. Он представляет собой тангенциальный завихритель, в котором закрутка воздуха осуществляется посредством тангенциального сопла, а подвод сыпучего материала из бункера производится через осевой подвод.

Для решения поставленной задачи была предложена аналитико-экспериментальная модель течения закрученного потока в круглой трубе, основанная на аппроксимации профилей вращательной и осе-

вой компонент скорости. Для облегчения моделирования весь поток разбивается на три зоны:

1. зона пристенного течения ($R - \delta < r \leq R$);
2. зона основного течения ($r_{от} < r \leq R - \delta$), в которой осевая компонента скорости имеет максимальное значение;
3. зона обратного приосевого течения ($r \leq r_{от}$).

Здесь: R – внутренний радиус трубы, $r_{от}$ – радиус, на котором осевая скорость равна нулю, r – текущий радиус, δ – толщина пограничного слоя [1]

$$\delta = 0,37 \left(\frac{w_{\infty} x}{\nu} \right)^{-1/5}$$

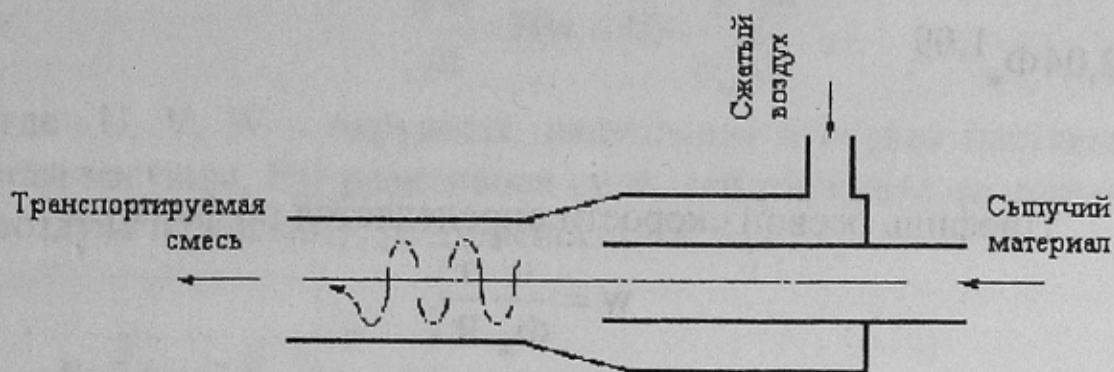


Рисунок 1 - Схема вихревого эжектора

Как показал анализ работ различных авторов ([2],[3]), кинематическое подобие внутреннего закрученного потока в трубе определяется безразмерным параметром Φ_* , который характеризует отношение момента количества движения M к осевому количеству движения K_1 в произвольном сечении в масштабе линейного размера трубопровода L :

$$\Phi_* = \frac{M}{K_1 L}$$

Начальное значение параметра Φ_* определяется как отношение момента количества движения воздуха, поступающего в тангенциальное сопло, к количеству движения сыпучего материала в осевом подводе, рассчитанное в том же сечении. Для каждого сечения трубопровода можно определить радиус зоны обратных течений по рассчитанному Φ_*

$$\frac{r_{om}}{R} = 0,3(\Phi_* - 0,24)^{0,72}$$

Зона основного течения, ($r_{от} < r \leq R - \delta$):

1. Профиль вращательной скорости определяется по формуле Шлихтинга

$$\frac{u}{u_*} = \left(\frac{2\eta}{1+\eta^2} \right)^k, \text{ где параметр } \eta = \frac{r}{r_{om}},$$

r_{om} - радиус максимальной вращательной скорости, определяется

$$\text{из соотношения } \frac{r_{om}}{R} = 0,5\Phi_*^{0,41},$$

максимальное значение вращательной скорости

$$\frac{u_*}{W_{cp}} = 2,04\Phi_*^{1,09}$$

2. Профиль осевой скорости определяется по формуле

$$w = \frac{u}{\Phi_*} \frac{r}{R}$$

Зона пристенного течения, ($R - \delta < r \leq R$):

1. Профиль осевой скорости определяется по формуле

$$\frac{w}{w_*} = \left(\frac{R-r}{r} \right)^n,$$

где показатель степени определяется как

$$\frac{n}{n_0} = [1 + 0,78(\Phi_* - 0,07)]^{0,7}$$

2. Профиль вращательной скорости определяется из соотношения

$$u = w \frac{\Phi_*}{r} R$$

Зона обратного течения, ($r \leq r_{от}$):

1. Профиль осевой скорости определяется как

$$\frac{w}{w_0} = 1 - \frac{r^2}{r_{от}^2}$$

2. Профиль вращательной скорости определяется аналогично предыдущему пункту.

Профиль радиальной скорости во всех трех зонах определяется из уравнения неразрывности

$$\frac{\partial v}{\partial r} + \frac{v}{r} + \frac{\partial w}{\partial x} = 0.$$

Добавим дифференциальные уравнения движения для твердой частицы в закрученном потоке воздуха

$$\frac{dV}{dt} - \frac{U^2}{r} = F(v-V) - \frac{1}{\rho_{\text{ч}}} \frac{\partial p}{\partial r} - g \cos \varphi ;$$

$$\frac{dU}{dt} + \frac{UV}{r} = F(u-U) + g \sin \varphi ;$$

$$\frac{dW}{dt} = F(w-W) - \frac{1}{\rho_{\text{ч}}} \frac{\partial p}{\partial x} ,$$

где U, V, W – окружная, радиальная и осевая составляющие скорости частицы, F – реактивная сила, действующая со стороны потока воздуха на частицу, $\rho_{\text{ч}}$ – плотность частицы.

$$F = \frac{3}{4} k_{\text{ф}} C \frac{\rho}{\rho_{\text{ч}}} \frac{1}{a} \left| \begin{array}{c} \rightarrow \\ u - U \end{array} \right| , \text{ где коэффициент аэродинамического}$$

сопротивления равен

$$C = \frac{24}{\text{Re}} + \frac{4,4}{\sqrt{\text{Re}}} + 0,32$$

a – диаметр частицы, Re – эффективное число Рейнольдса.

Коэффициент, учитывающий отклонение формы частицы от сферической

$$k_{\text{ф}} = \left(0,843 g \frac{1}{0,065 \text{ф}} \right)^{-1}, \text{ при } \text{Re} < 0,05,$$

$$k_{\text{ф}} = 12,4 - 11,4 \text{ф}^{-1}, \text{ при } 2 \cdot 10^3 < \text{Re} < 2 \cdot 10^5.$$

Перепад давления по радиусу и по перемещению определим, выразив в частных производных из уравнения Навье – Стокса

$$\frac{\partial p}{\partial r} = -\rho \left(v \frac{\partial v}{\partial r} + w \frac{\partial v}{\partial x} - \frac{u^2}{r} \right);$$

$$\frac{\partial p}{\partial x} = -\rho \left(v \frac{\partial w}{\partial r} + w \frac{\partial w}{\partial x} \right).$$

Модель численно решалась на ЭВМ методом Рунге – Кутта. Были получены расчетные зависимости изменения скорости и давлений двухфазного закрученного потока по длине трубопровода. В качестве иллюстрации ниже приведены расчетные траектории движения твердых частиц на разгонном участке трубопровода в зависимости от безразмерного времени для различных диаметров частиц (рисунок 2). Здесь цифра 1 относится к диаметру частиц 40 мкм, 2 – 30 мкм.

Как можно заметить из приведенной диаграммы более крупные, а следовательно более массивные частицы, обладая относительно большей инерцией, имеют более пологую траекторию, чем более мелкие частицы. Но обладая большей инерционностью, тем самым они дольше разгоняются, и поэтому более длительное время испытывают воздействие от закрутки, которое стремится концентрировать частицы у оси трубопровода. В общем же наблюдается тенденция смещения твердой фазы вращающегося потока к его оси в начале трубопровода в момент его разгона. В дальнейшем, по мере затухания закрутки, частицы начинают выпадать на стенки (рисунок 3).

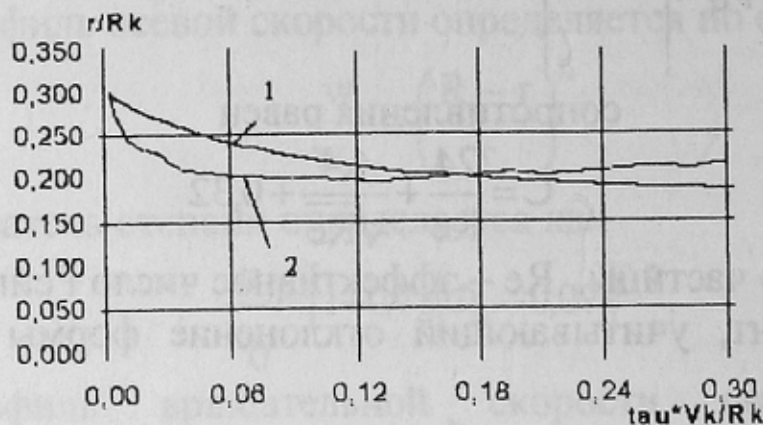


Рисунок 2 - Траектории частиц

Таким образом подтверждается предположение о возникновении “защитного слоя” воздуха у стенки трубопровода, который предохраняет его от повышенного износа.

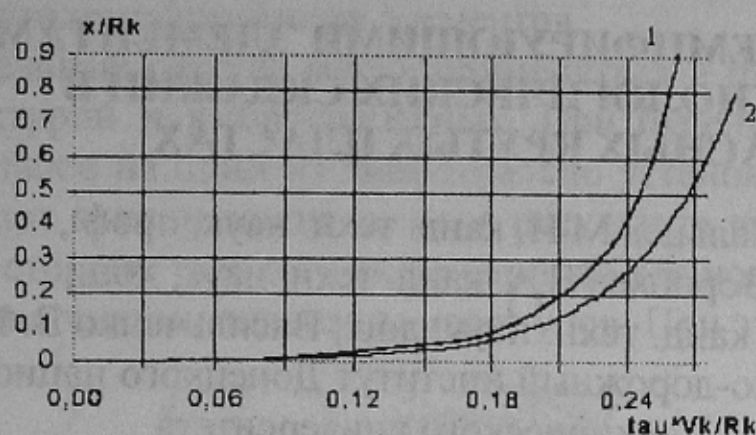


Рисунок 3 - Координата выпадения частиц на стенку трубопровода

Приведенная математическая модель описывает движение твердых частиц в закрученном потоке воздуха в круглой трубе и может быть использована для расчета параметров пневматического транспортирования сыпучих материалов закрученным потоком сжатого воздуха. При этом предельная объемная концентрация твердой фазы не должна превышать 2%. К примеру для золы, снимаемой с электрофильтров угольных ТЭС, это составляет 40 кг сыпучего материала на 1 кг воздуха.

Список источников

1. Шлихтинг Г. Теория пограничного слоя. – М.: Наука, 1984. – 712с.
2. Халатов А.А. Теория и практика закрученных потоков. – Киев: Наукова думка, 1989. – 192с.
3. Щукин В.К., Халатов А.А. Теплообмен, массообмен и гидродинамика закрученных потоков в осесимметричных каналах. – М.: Машиностроение, 1982. – 200с.
4. Лойцянский Л.Г. Механика жидкостей и газов. – М.: Наука, 1987. – 840с